

铁电陶瓷脉冲耐压失效分布及耐压可靠性*

张福平[†] 李玺钦 杜金梅 刘雨生 叶福庆

(中国工程物理研究院流体物理研究所, 产品工程设计与制造中心, 绵阳 621900)

(2023 年 8 月 19 日收到; 2024 年 3 月 21 日收到修改稿)

铁电陶瓷在高电场下的击穿问题是困扰铁电陶瓷应用的关键问题之一. 本文统计了铁电陶瓷在正向脉冲电场 (4.5 kV/mm) 失效概率与脉冲次数的分布关系, 对通过第 10 次脉冲耐压样品第 11 次的失效概率进行了分析, 开展了铁电陶瓷经历万次以上的脉冲耐压后压电常数与电滞回线测试研究. 结果表明: 铁电陶瓷的击穿概率与脉冲加电压次数曲线呈现典型的浴盆曲线分布, 经历 10 次脉冲高压测试合格的样品, 其脉冲耐压失效概率相比于未经过脉冲高压陶瓷样品, 降低了 4 个数量级以上, 且上述脉冲高压加载接近无损. 考虑到裂纹扩展速度, 多个缺陷导致的裂纹同时扩展并连通是铁电陶瓷在脉冲高电压下断裂的主要原因.

关键词: 铁电陶瓷, 脉冲电场, 失效概率**PACS:** 77.84.Cg, 77.22.Jp**DOI:** 10.7498/aps.73.20231354

1 引言

钙钛矿结构的铁电陶瓷在电场信号下引起较大的致动, 它具有较高的机电转换效率及良好的性能可控性, 因而铁电陶瓷广泛应用于制动器、微定位器等机敏元件. 同时, 随着铁电薄膜制备技术的突破, 使得铁电体薄膜与半导体器件集成变成可能, 从而导致以铁电存储器为代表的新型信息功能器件和系统的开发与应用. 铁电陶瓷高的机电转换效率带来良好的应用价值的同时, 也是造成铁电陶瓷在极化、检测以及使用过程失效的原因之一. 这是由于铁电陶瓷本身属于脆性材料, 而在外加电场过程中由于电力转换的作用, 不可避免带来机械应力, 最终成为铁电陶瓷的电致断裂诱因^[1-7].

在我们早期研究中^[4], 对铁电陶瓷在直流和脉冲高压下失效机理进行了详细的研究, 通过对失效部位显微结构、相关热效应以及力学分析, 发现铁电陶瓷在脉冲高压下失效以力学失效为主, 而在直

流高压下失效或击穿往往伴随热失效. 直流和脉冲高压下截然不同的失效模式, 造成直流下获得失效规律以及分布无法移植到脉冲高压下. 而脉冲电压下铁电陶瓷失效研究相对较少, 对于制动器以及铁电存储器等铁电功能器件, 在检测和使用过程中会重复外加脉冲电场, 对脉冲电场下铁电陶瓷的失效分布鲜见报道, 该失效分布对铁电陶瓷的可靠性分析有重要参考意义. 同时, 对于铁电陶瓷脉冲耐压问题, 需要回答铁电陶瓷经历了第 N 次脉冲耐压未失效的, 第 $N+1$ 次脉冲耐压失效概率问题以及多次反复外加脉冲高压是否会造成铁电陶瓷损伤、失效甚至于疲劳等问题, 这些对于铁电陶瓷的脉冲应用具有相对高的价值.

本文以 PZT 95/5 铁电陶瓷脉冲耐压为研究对象, 统计了万片铁电陶瓷失效概率与脉冲次数的分布关系, 采用计量法对通过第 10 次脉冲耐压样品第 11 次的失效分布进行了分析, 最后开展了铁电陶瓷经历万次以上的脉冲耐压后压电常数与电滞回线测试研究. 结果表明, 铁电陶瓷脉冲耐压失

* 中国科学院无机功能材料与器件重点实验室开放基金 (批准号: KLIFMD202310) 资助的课题.

[†] 通信作者. E-mail: zfp@aliyun.com

表 1 正向脉冲电场下铁电陶瓷加压次数与击穿概率统计表 (共 15000 片)

Table 1. Statistic breakdown time with electric shock time of ferroelectric ceramic under pulse electric field (total 15000 pieces).

第几次加电压	1	2	3	4	5	6	7	8	9	10
击穿发生次数	293	11	5	4	6	2	3	3	3	1
击穿发生概率/%	19.5	0.7	0.3	0.27	0.4	0.1	0.2	0.2	0.2	0.067

效分布具有典型的浴盆曲线特点, 且铁电陶瓷经历了万次以上的脉冲耐压未观察到明显的损伤与疲劳.

2 实验设计及介绍

为了获得准确的失效规律分布, 实验采用 15000 片 PZT 95/5 铁电陶瓷 (该陶瓷已极化, 并开展了直流老炼), 每片铁电陶瓷样品加载脉冲电场 10 次, 如果铁电陶瓷发生击穿失效, 记录第几次失效. 为了简化问题, 脉冲电场方向与铁电陶瓷极化电场一致 (正向电场), 避免电畴翻转带来更复杂的物理失效机制. 同时, 脉冲电场指标为 4.5 kV/mm 场强, 1.2 μ s 上升沿, 6 μ s 脉宽, 该电场为铁电陶瓷击穿电场的 50%—80%, 是元器件老炼实验经常选用的范围.

对于经历上述 10 次脉冲高压而未发生电击穿的铁电陶瓷样品, 需要回答其第 11 次在某一电场下发生电击穿概率. 由于该样品已经经历了 10 次高压, 后面发生电击穿概率预计非常低, 采用计数法预计需要非常大的样本量, 且每个电场度需要开展大量的实验, 可操作性不强. 为了回答第 11 次发生电击穿概率, 在剩余经历 10 次高压未发生电击穿的样品, 随机抽了 100 片, 外加脉冲高压 (6 μ s 脉宽) 直至其发生电击穿, 记录这 100 片的样品击穿电场, 并采用正态分布拟合该分布, 最终获得第 11 次的击穿失效规律.

还有个问题, 铁电陶瓷反复施加正向脉冲电场, 是否会造成铁电陶瓷内部新的缺陷萌生, 陶瓷内部形成疲劳损伤等, 通俗地讲反复施加正向电场, 会不会使好的铁电陶瓷变坏. 为了回答这个问题, 部分通过 10 次脉冲高压的铁电陶瓷样品, 这些样品经历 13000 余次的脉冲电场 (4.5 kV/mm), 未观察到电击穿. 这些样品在初始未加电场、第 100 次、第 1000 次以及第 13000 次脉冲高压后, 放置 24 h 以上, 先测量其压电常数后测量其室温电滞回线, 其中电滞回线测量采用德国 aixACCT 公

司的 TF Analyzer 2000, 测试频率为 0.1 Hz.

3 实验结果与讨论

表 1 给出了脉冲电场下铁电陶瓷第几次加压下击穿发生的次数以及对应的击穿发生概率. 将表 1 中的第 1 行与第 3 行数据, 分别作为横坐标以及纵坐标, 形成脉冲电场下铁电陶瓷加电压次数与击穿概率分布图, 如图 1 所示.

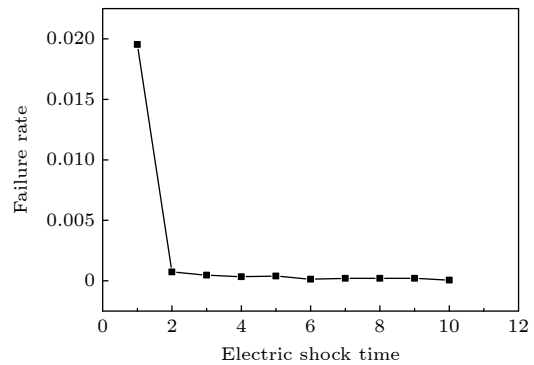


图 1 脉冲电场下铁电陶瓷加电压次数与击穿概率分布图 (典型的浴盆曲线)

Fig. 1. Electric shock time versus failure rate of ferroelectric ceramics under pulsed electric field (typical bathtub curve).

从图 1 可以看出, 脉冲电场下铁电陶瓷呈现典型的浴盆曲线 (浴盆曲线后期故障期未给出), 其第 1 次加电压失效概率最高, 第 2 次加电压失效概率急剧降低, 但还有较高的概率, 第 3 次-第 5 次失效概率继续降低, 到第 6 次-第 10 次失效概率基本上稳定在一个非常低的失效概率. 在这种情况下, 认为第 1 次到第 5 次失效位于浴盆曲线早期失效区, 具有相对高的失效概率. 而第 6 次以后进入了偶发失效区, 该区域的样品失效为偶发性的, 失效概率非常低. 图 1 的浴盆曲线与常见的浴盆曲线相比, 横坐标由时间转变成加电次数. 铁电陶瓷生产单位在出厂时候采用了直流老炼, 淘汰了部分有缺陷的产品, 但在外加脉冲高压时, 还具有相对高的失效概率. 从这点看, 铁电陶瓷直流老炼无法替代

表 2 铁电陶瓷经历 10 次脉冲高压老炼后的击穿电场 (kV/mm)

Table 2. Breakdown field strength of ferroelectric ceramics after 10 times pulsed electric shock (kV/mm).

编号	电场	编号	电场	编号	电场	编号	电场	编号	电场	编号	电场	编号	电场	编号	电场	编号	电场	编号	电场
1	8.80	2	8.55	3	8.35	4	8.30	5	8.85	6	8.90	7	8.85	8	8.50	9	8.90	10	8.85
11	8.35	12	8.80	13	8.90	14	8.50	15	8.90	16	8.75	17	8.80	18	8.15	19	8.65	20	8.80
21	8.30	22	8.85	23	8.75	24	8.45	25	8.90	26	8.85	27	8.30	28	8.75	29	8.75	30	8.85
31	8.80	32	8.75	33	8.75	34	8.95	35	8.95	36	8.85	37	9.00	38	8.90	39	8.30	40	10.2
41	8.70	42	8.85	43	9.00	44	8.95	45	8.85	46	8.60	47	8.70	48	8.80	49	8.95	50	8.85
51	8.50	52	8.70	53	8.90	54	8.55	55	8.85	56	8.50	57	8.90	58	8.85	59	8.95	60	7.90
61	8.40	62	8.90	63	8.75	64	8.85	65	8.85	66	8.95	67	8.60	68	8.85	69	8.85	70	8.30
71	8.80	72	8.75	73	8.95	74	8.80	75	8.80	76	8.85	77	8.95	78	8.65	79	8.95	80	8.80
81	8.50	82	8.55	83	8.90	84	8.90	85	8.45	86	8.40	87	8.65	88	8.80	89	8.80	90	8.05
91	8.50	92	8.65	93	8.85	94	8.60	95	8.95	96	8.90	97	8.65	98	8.90	99	7.80	100	8.75

脉冲下的次数老炼, 因为直流击穿往往伴随热击穿, 而脉冲下则以电-力耦合失效为主^[4].

对于铁电陶瓷老炼来说, 需要回答经历老炼后铁电陶瓷的失效规律. 表 2 给出了铁电陶瓷经历 10 次脉冲高压老炼后的击穿电场. 假设铁电陶瓷击穿电压符合正态分布, 将表 2 的击穿电压用正态分布拟合后, 其正态分布图如图 2 所示.

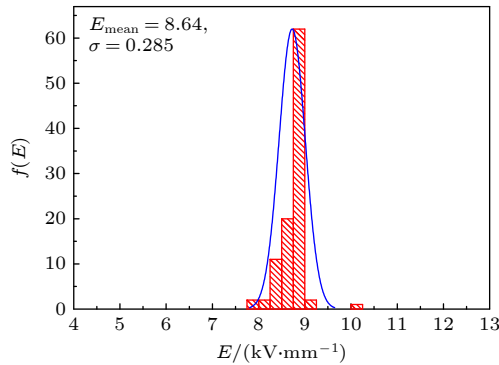


图 2 经历 10 次脉冲耐压后的铁电陶瓷击穿电场正态分布拟合曲线

Fig. 2. Normal distribution fitting curve of electric breakdown field about ferroelectric ceramics after 10 times pulsed electric shock.

从图 2 可以看出, 经历 10 次脉冲耐压未发生击穿断裂的铁电陶瓷样品, 其击穿电场 E 采用正态分布拟合后均值 $E_{\text{mean}} = 8.64$ kV/mm, 标准偏差 $\sigma = 0.285$ kV/mm, 其失效密度分布函数形式为

$$f(E) = \frac{1}{\sigma\sqrt{2\pi}} \exp\left[-\frac{(E - E_{\text{mean}})^2}{2\sigma^2}\right] \\ = \frac{1}{0.285\sqrt{2\pi}} \exp\left[-\frac{(E - 8.64)^2}{0.162}\right]. \quad (1)$$

样品在某一电场下的击穿概率 (失效规律) 如下:

$$R(E) = \int_0^E f(E) dE = \int_0^E \frac{1}{0.285\sqrt{2\pi}} \\ \times \exp\left[-\frac{(E - 8.64)^2}{0.162}\right] dE. \quad (2)$$

对于正态分布, 不建议采用 (2) 式计算, 一般采用均值与标准偏差来分析其失效概率. 其中 $(E_{\text{mean}} - 2\sigma, E_{\text{mean}} + 2\sigma)$ 范围面积为 95.4%, 2σ 之外的失效概率低于 4.6%, 3σ 为 0.3%, 4σ 为 0.01%, 而 6σ 为 10^{-6} , 相关结果见表 3. 在工业设计中遵循所谓的 6σ 原则, 理论上出事故或失效概率为 10^{-6} . 对于经历过 10 次脉冲高压合格的陶瓷样品, 其在 $E_{\text{mean}} - 6\sigma = 6.93$ kV/mm 电场下的失效概率为 10^{-6} , 而未经历脉冲高压的样品, 在 4.5 kV/mm 下的失效概率为 1.95% (见表 1), 两者相比失效概率降低了 4 个数量级以上. 从这点看, 通过 10 次脉冲高压测试能极大地降低铁电陶瓷脉冲高压失效概率, 提高陶瓷样品耐压可靠性, 实现了铁电陶瓷电老炼的目的.

表 3 经历 10 次脉冲高压合格的铁电陶瓷失效概率表

Table 3. Breakdown possibility of PZT 95/5 after 10 times pulsed electric shock.

	$E_{\text{mean}} - 2\sigma$	$E_{\text{mean}} - 3\sigma$	$E_{\text{mean}} - 4\sigma$	$E_{\text{mean}} - 6\sigma$
电场/ (kV·mm ⁻¹)	8.07	7.79	7.5	6.93
击穿发生 概率/%	4.6	0.3	0.01	10^{-6}

图 3 和图 4 给出了不同冲击次数后所测量得到的压电常数以及电滞回线. 从图 3 可以看出, 随着电冲击次数增加, PZT 95/5 的压电常数 d_{33} 并没有明显的变化, 其值仍然在样品的规定范围之内. 从图 4 可以看出, 即使经历了 10^4 余次脉冲高压冲击, PZT95/5 铁电陶瓷在测试电滞回线过程

中, 未发生击穿且电滞回线饱和无明显畸变. 比较不同冲击次数后的电滞回线, 区别非常小, 其饱和极化以及剩余极化强度无变化, 但放大局部观察(图 4(b)), 矫顽场随电冲击次数略有所增加(从初始的 1.12 kV/mm 增加到 1.16 kV/mm). 也就是铁电陶瓷样品脉冲电场 (4.5 kV/mm) 冲击 10^4 余次, 性能不会退化, 无明显的疲劳痕迹. 之所以出现脉冲高压冲击 10^4 余次性能无退化无明显疲劳痕迹, 其外加电场为正电场, 在正电场反复作用下,

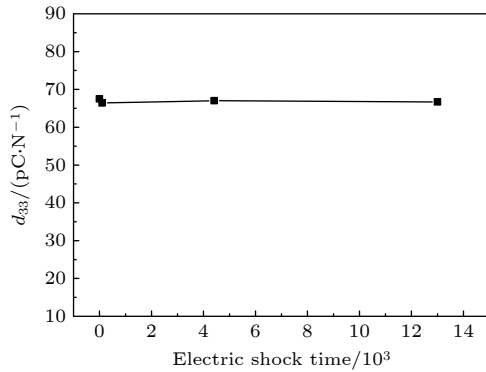


图 3 不同电冲击次数后铁电陶瓷压电常数 d_{33} 变化规律
Fig. 3. Piezoelectric constant d_{33} of PZT 95/5 versus electric shock time.

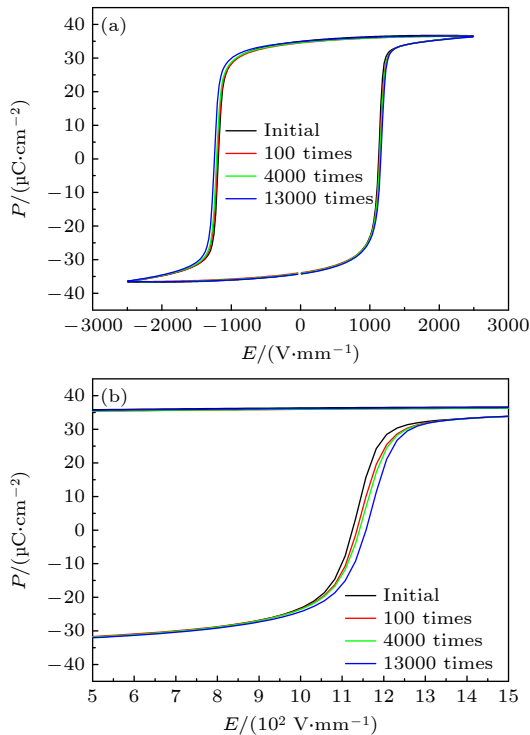


图 4 不同电冲击次数后铁电陶瓷电滞回线变化规律 (a) 原图; (b) 局部放大
Fig. 4. Variation of hysteresis loops of ferroelectric ceramics after different electric shock times: (a) Original figure; (b) local enlarged figure.

电畴只会发生反复拉伸. 而如果施加的是交变电场, 电畴将会发生转向反转, 所生产的应力和应变远大于正向电场, 其更容易出现疲劳损伤. 这是外加 10^4 余次脉冲正向电场未观察到明显疲劳的根本原因.

PZT 95/5 经历了 10 次脉冲高压合格后, 其能承受 10^4 余次脉冲高压不发生电击穿, 且性能无明显变化. 上述结果说明, PZT 95/5 铁电陶瓷在 4.5 kV/mm 脉冲电场作用下, 只会造成有缺陷的陶瓷样品裂纹扩展失效而不会造成新的缺陷萌生, 且陶瓷样品在 10^4 余次冲击后, 未观察到明显的疲劳现象. 由于样品经历了 10^4 余次冲击都未观察到新的缺陷萌生以及明显的疲劳现象, 可以认为外加 10 次脉冲高压是接近无损的 (只会造成有相对大缺陷的产品失效而不会造成好的产品破坏).

对于表 1 和图 1 的失效分布规律的物理解释, 其涉及到电-力耦合, 缺陷在应力和电场作用下演化, 是个非常复杂的物理问题. 考虑到早期我们研究发现在脉冲电场下的失效以电-力耦合失效 (表现为断裂) 为主^[4], 相关失效断面扫描照片见图 5. 如果采用 Griffith 断裂准则分析的话, 样品经历 1 次电场未发生失效将不会再发生失效, 与表 1 和图 1 的规律不一致, 这是因为失效往往由动力学控制 (如裂纹扩展等) 而不是单纯的临界事件. 以裂纹扩展分析, PZT 95/5 铁电陶瓷击穿往往发生在上升沿阶段, 相关击穿波形如图 6 所示.

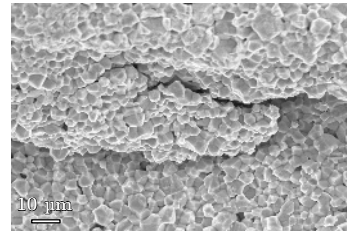


图 5 铁电陶瓷脉冲失效部位扫描电子显微镜图
Fig. 5. Scanning electron microscope figure of failure zone about ferroelectric under pulsed electric field.

由于铁电陶瓷击穿往往发生在上升沿, 其时间小于 $1.2 \mu\text{s}$, 考虑到裂纹在铁电陶瓷的扩展极限速度为瑞利波速 (采用预制缺陷方法测量得到裂纹在铁电陶瓷扩展速度低于 1 km/s), 而瑞利波速度约为 0.5—0.7 倍的体声速^[8,9] (最高大约 2.1 km/s). 假设铁电陶瓷内部只有一个在 4.5 kV/mm 电场下扩展的缺陷, 其扩展最大距离只有 2.5 mm (实际扩

展距离远小于该值), 该扩展距离不足以使现有陶瓷样品发生断裂. 而表 1 和图 1 的断裂失效主要集中在电压加载的第 1 次, 从这点看, 铁电陶瓷受脉冲电场作用下断裂是多缺陷萌生的裂纹扩展造成的结果, 因为单裂纹扩展的距离无法使大多数铁电陶瓷样品在首次脉冲高压上升沿阶段发生断裂, 与微观观察到陶瓷内部含有多个缺陷是一致的 (图 7).

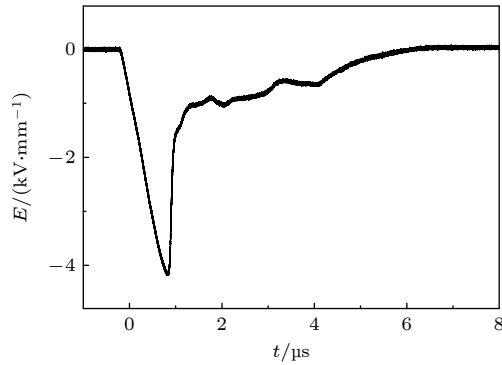


图 6 PZT 95/5 铁电陶瓷典型击穿波形

Fig. 6. Typical breakdown waveform of PZT 95/5 ferroelectric ceramics.

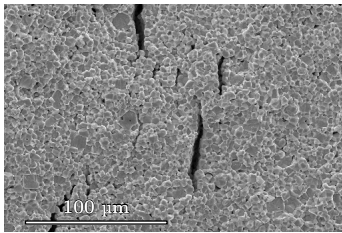


图 7 铁电陶瓷内部多个裂纹状缺陷

Fig. 7. Multi-crack like defect inner ferroelectric ceramics.

从图 7 可以看出, 铁电陶瓷在制备过程中经历了非常复杂的物理与化学过程, 内部往往分布各种缺陷 (超声扫描成像能无损表征部分较大缺陷), 这些缺陷在高电场的电-力耦合下都可能诱发裂纹, 由于外加电场相对高, 这些裂纹为导通裂纹, 造成铁电陶瓷局部导通, 剩余部位电场进一步集中, 诱使更多缺陷萌生裂纹. 多缺陷萌生的裂纹共同扩展并连通, 最终导致实验观察到铁电陶瓷在首次外加脉冲高压的上升沿阶段发生断裂失效. 当然存在部分铁电陶瓷在一定电场下能萌生裂纹的缺陷相距

较远或者内部这种缺陷很少 (见图 8), 单次脉冲高压加载无法使陶瓷发生断裂, 需要多次脉冲高电压加载才能使样品发生断裂, 这也是表 1 和图 1 一次脉冲高电压合格的样品仍然观察到一定的失效概率的根本原因.

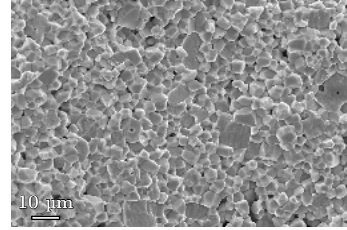


图 8 铁电陶瓷内部裂纹状缺陷很少甚至没有

Fig. 8. Ferroelectric ceramics without crack like defect.

4 结 论

铁电陶瓷在脉冲高压下, 其击穿概率与加压次数曲线呈现典型的浴盆曲线分布. 经历 10 次脉冲高压测试合格的样品, 其脉冲耐压失效概率相比于未经历 10 次脉冲高压陶瓷样品, 降低了 4 个数量级以上. 铁电陶瓷经历万次以上正向脉冲高压加载, 未观察到明显的疲劳和损伤, 说明 10 次正向脉冲高压加载接近无损状态. 同时考虑到裂纹极限扩展速度, 铁电陶瓷在脉冲高压下的断裂失效是多缺陷诱发裂纹扩展连通导致的失效为主.

参考文献

- [1] Zhang F P, Du J M, Liu Y S, He H L 2007 *J. Am. Ceram. Soc.* **90** 2639
- [2] Setchell R E 2007 *J. Appl. Phys.* **101** 053525
- [3] Wang H, Singh R 1997 *J. Appl. Phys.* **81** 7471
- [4] Zhang F P, Du J M, Liu Y S, Liu Y, Liu G M, He H L 2011 *Acta. Phys. Sin.* **60** 057701 (in Chinese) [张福平, 杜金梅, 刘雨生, 刘艺, 刘高旻, 贺红亮 2011 *物理学报* **60** 057701]
- [5] Cao H, Evans A G 1994 *J. Am. Ceram. Soc.* **77** 1783
- [6] White G S, Raynes A S, Vaudin M D, Freiman S W 1994 *J. Am. Ceram. Soc.* **77** 2603
- [7] Watanabe Y, Okano M, Masuda A 2001 *Phys. Rev. Lett.* **86** 332
- [8] Bourne N K, Rosenberg Z, Field J E 1995 *J. Appl. Phys.* **78** 3736
- [9] Heaton T H 1990 *Phys. Earth Planet. In.* **64** 1

Failure distribution and reliable analysis of ferroelectric ceramics under pulsed electric field^{*}

Zhang Fu-Ping[†] Li Xi-Qin Du Jin-Mei

Liu Yu-Sheng Ye Fu-Qing

(*D&M Center of Equipment and Engineering, Institute of Fluid Physics, China Academy of Engineering Physics,
Mianyang 621900, China*)

(Received 19 August 2023; revised manuscript received 21 March 2024)

Abstract

Dielectric breakdown at high electric field plays an important role in the application of ferroelectric ceramics. In this paper, the failure probability versus electric shock time of ferroelectric ceramics under positive pulse electric field is analyzed statistically. The failure probability distribution of ceramics after 10 electric shocks is studied. Piezoelectric constant, P - E loop of ferroelectric ceramics after 10 thousand electric shocks are measured and the breakdown mechanism is discussed. The results indicate that the relation between failure probability and electric shock number of ferroelectric ceramics is shown by a bath-tube curve and the failure probability of samples after 10 electric shocks decreases by 4 orders of magnitudes compared with that of origin sample. According to the results of piezoelectric constant and P - E loop, the samples subjected to positive pulse electric field many times do not show obvious fatigue or aging effect. So pulse electric field loading at 4.5 kV/mm is close to non-destructive condition. Considering the spread speed of cracks, it can be found that the rupture of ferroelectric ceramics under pulsed electric field roots from extension and connection of multi-cracks from multi-defects.

Keywords: ferroelectric ceramics, pulsed electric field, failure probability

PACS: 77.84.Cg, 77.22.Jp

DOI: [10.7498/aps.73.20231354](https://doi.org/10.7498/aps.73.20231354)

^{*} Project supported by the Opening Project of Key Laboratory of Organic Function Materials and Devices, Chinese Academy of Science, China (Grant No. KLIFMD202310).

[†] Corresponding author. E-mail: zfpttt@aliyun.com



铁电陶瓷脉冲耐压失效分布及耐压可靠性

张福平 李玺钦 杜金梅 刘雨生 叶福庆

Failure distribution and reliable analysis of ferroelectric ceramics under pulsed electric field

Zhang Fu-Ping Li Xi-Qin Du Jin-Mei Liu Yu-Sheng Ye Fu-Qing

引用信息 Citation: *Acta Physica Sinica*, 73, 107701 (2024) DOI: 10.7498/aps.73.20231354

在线阅读 View online: <https://doi.org/10.7498/aps.73.20231354>

当期内容 View table of contents: <http://wulixb.iphy.ac.cn>

您可能感兴趣的其他文章

Articles you may be interested in

红外探测用无铅铁电陶瓷的热释电特性研究进展

Research progress of pyroelectric characteristics of lead-free ferroelectric ceramics for infrared detection

物理学报. 2020, 69(12): 127708 <https://doi.org/10.7498/aps.69.20200303>

PbLa(Zr, Sn, Ti)O₃反铁电陶瓷在脉冲电场下的极化与相变行为

Polarization and phase transition behavior of PbLa(Zr, Sn, Ti)O₃ antiferroelectric ceramics under pulse electric field

物理学报. 2020, 69(12): 127710 <https://doi.org/10.7498/aps.69.20200209>

多效应铌酸钾钠基透明铁电陶瓷的制备及性能

Preparation and properties of multi-effect potassium sodium niobate based transparent ferroelectric ceramics

物理学报. 2020, 69(24): 247702 <https://doi.org/10.7498/aps.69.20201317>

铁电材料中电场对唯象系数和电卡强度的影响

Influence of electric field on the phenomenological coefficient and electrocaloric strength in ferroelectrics

物理学报. 2020, 69(12): 127701 <https://doi.org/10.7498/aps.69.20200296>

(1-x)K_{0.5}Na_{0.5}NbO₃-xBi(Mg_{0.5}Ti_{0.5})O₃无铅弛豫铁电陶瓷的介电、铁电和高储能行为

Dielectric, ferroelectric and high energy storage behavior of (1-x)K_{0.5}Na_{0.5}NbO₃-xBi(Mg_{0.5}Ti_{0.5})O₃ lead free relaxor ferroelectric ceramics

物理学报. 2020, 69(12): 127703 <https://doi.org/10.7498/aps.69.20200213>

脉冲强磁场下的电极化测量系统

A pulsed high magnetic field facility for electric polarization measurements

物理学报. 2020, 69(5): 057502 <https://doi.org/10.7498/aps.69.20191520>